

# تجزیه و تحلیل خطر لرزه‌یی شهر تبریز با توجه به اثر پدیده‌ی حوزه‌ی نزدیک

مسعود یوسفی صبوری\*

تورج تقی خانی (استادیار)

دانشکده‌ی مهندسی عمران و محیط‌زیست، دانشگاه صنعتی امیرکبیر تهران

زمین‌لرزه‌های ثبت شده در نزدیکی گسل گمیخته شده، اغلب حاوی پالس در رکورد سرعت - زمان هستند، که می‌توانند تقاضای قابل توجهی را در سازه‌های این مناطق به وجود آورند. روش‌های تحلیل خطر موجود به خوبی نمی‌توانند اثر این پدیده را در طیف پاسخ به درستی پیش‌بینی کنند. شهر تبریز، یکی از شهرهای صنعتی و تاریخی ایران است، که گسل شمالی آن به عنوان فعال‌ترین گسل منطقه، در نزدیکی آن واقع شده است. لذا در این مطالعه، با استفاده از روابط پیشنهادی، نتایج حاصل از دو روش تحلیل خطر عادی و اصلاح شده شهر تبریز به صورت نقشه‌های هم‌تاز شتاب طیفی به دست آمده است. برای تعیین اثر پدیده‌ی حوزه‌ی نزدیک مانند پالس در میزان مشارکت پارامترهای مختلف دخیل در تحلیل خطر احتمالاتی، تجزیه‌ی خطر عادی و اصلاح شده این پارامترها برای نقاط مختلف شهر برای ۲ دوره‌ی بازگشت ۴۷۵ و ۲۴۷۵ ساله انجام و نقش پارامترهای منحصر به پدیده‌ی حوزه‌ی نزدیک مانند پالس و دوره‌ی تاب آن مشخص شده است.

masood.yousefi.civil@gmail.com  
ttaghikhany@aut.ac.ir

واژگان کلیدی: زمین‌لرزه‌یی حوزه‌ی نزدیک، پالس، تحلیل خطر لرزه‌یی، تجزیه‌ی خطر لرزه‌یی، شهر تبریز.

## ۱. مقدمه

تحلیل خطر لرزه‌یی احتمالاتی برای ارزیابی و کمی‌سازی عدم قطعیت‌هایی همچون موقعیت، اندازه و شدت لرزش زلزله‌های آینده روشنی پذیرفته شده است. این روش که نخستین بار در سال ۱۹۶۸ معرفی شده است،<sup>[۱]</sup> امروزه در سطح گسترده‌یی مورد استفاده قرار می‌گیرد. با این حال، در این روش اثر پدیده‌ی پالس در برآورد شتاب نواحی که در نزدیکی سرچشمه‌ی لرزه‌زا هستند، در نظر گرفته نشده است. در سال‌های اخیر مطالعات وسیعی بر روی اثرات حوزه‌ی نزدیک و نوع حرکات زمین در محدوده‌ی کانونی زلزله صورت گرفته است. در پژوهشی در سال ۲۰۰۸، به این نقص در مدل‌های پیش‌بینی لرزه‌یی رایج توجه و پیشنهاداتی در راستای اصلاح روابط و نگرش به تحلیل خطر در حوزه‌ی نزدیک ارائه شده است.<sup>[۲]</sup> این پیشنهاد در سال‌های اخیر با گسترش اطلاعات در مورد رکوردهای زلزله‌های حوزه‌ی نزدیک توسعه پژوهشگران مختلف،<sup>[۳]</sup> شکل عملی تری به خود گرفته است. این مطالعه تلاش دارد برای نخستین بار روابط پیشنهادی در مورد شهر تبریز را، که دارای منشأ لرزه‌زای غالب با امکان وقوع پدیده‌ی حوزه‌ی نزدیک است، بدکار گرد و نتایج حاصل را با نتایج تحلیل خطر معمول مقایسه کند.

لازم است تا در تکمیل نتایج تحلیل خطر لرزه‌یی احتمالاتی اصلاح شده نیز، سناریوی غالب در پارامتر موردنظر تکیک و مشخص شود تا درک صحیحی از نتایج حاصل ارائه شود. این مسئله برای مناطق حوزه‌ی نزدیک، اهمیت بیشتری دارد؛ زیرا در این نواحی تا به امروز، معیارهای مناسب برای سناریوی طراحی و انتخاب رکورد زمین‌لرزه بیان نشده است. همچنین در مواردی، سناریوهای طراحی و

ایران به عنوان یکی از مناطق لرزه‌خیز جهان، خسارات مالی و جانی بسیاری را به سبب رخداد زلزله تجربه کرده است. یکی از فعل ترین پهنه‌های لرزه‌یی ایران، منطقه‌ی آذربایجان است. رخداد ۱۲ زمین‌لرزه‌ی شدید، که شهر تبریز را کاملاً ویران کرده است، نشان‌دهنده‌ی فعالیت لرزه‌یی شدید این منطقه است. گسل شمال تبریز که از بخش شمالی تبریز عبور می‌کند، به دلیل وقوع زمین‌لرزه‌های متعدد تاریخی، از گسل‌های شناخته شده ایران است؛ که در اثر گسترش ساخت و ساز بر روی حریم آن از میان شهرک‌های جدید و در حال احداث تبریز عبور می‌کند.<sup>[۴]</sup>

مشاهدات به دست آمده از رکوردهای زلزله‌هایی که در ایستگاه نزدیک به منشاء آن ثبت شده است، نشان از شکل پالس‌مانند رکوردهای سرعت - زمان دارد. موج زلزله در مناطقی که رو به پارگی گسل قرار دارند، انرژی زیادی را به همراه دارد. دامنه‌ی طیف‌های شتاب در حوزه‌ی نزدیک در قیاس با طیف‌های شتاب در حوزه‌ی دور به علت وجود همین پالس‌ها در دوره‌های تابوت بالا، مقدار بسیار بیشتری نسبت به دوره‌های تابوت پایین دارد.<sup>[۵]</sup> نزدیکی گسل شمال تبریز با این شهر باعث شده است تا بررسی اثرات حوزه‌ی نزدیک، که در سال‌های اخیر توجه پژوهشگران را به همراه داشته است، در این مطالعه مورد توجه قرار گیرد. با توجه به اهمیت شهر تبریز در شمال غربی ایران، در نظر گرفتن احتمال اثرات پدیده‌ی حوزه‌ی نزدیک گسل تبریز در خطر لرزه‌یی این منطقه حائز اهمیت ویژه‌ی است.

\* نویسنده مسئول

تاریخ: دریافت ۷/۱۲/۱۳۹۱، اصلاحیه ۲۶/۵/۱۳۹۲، پذیرش ۴/۶/۱۳۹۲.

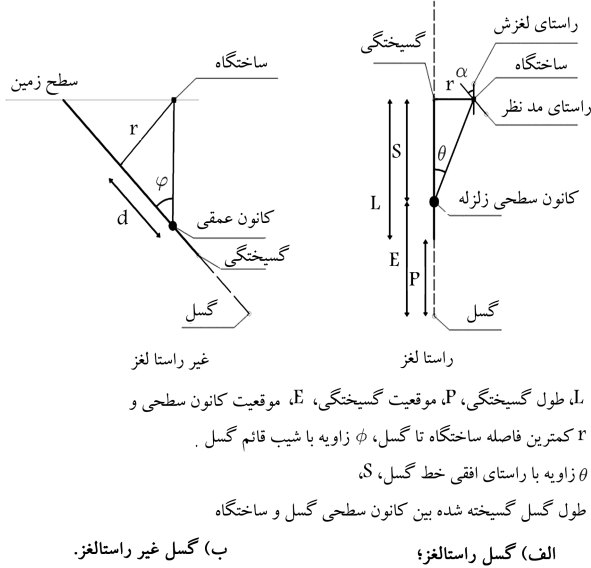
گسیختگی و  $E$  موقعیت کانون سطحی زلزله است، که درواقع بیان‌کر پارامتر  $Z$  در رابطهٔ ۲ هستند. این پارامترها در شکل ۱ نشان داده شده‌اند.

$$\begin{aligned} \lambda(S_a > x, pulse) &= \lambda \cdot \int_{t_p} \int_m \int_l \int_p \int_e P(pulse|l, p, e) \\ &\quad \cdot P(S_a > x | t_p, m, l, p, e, pulse) \cdot f_{(T_p|M, L, P, E)}(t_p|m) \\ &\quad \cdot f_{(P, E|M, L, ,)}(p, e|l) \cdot f_{(L|M)}(l|m) \cdot f_M(m) \cdot dt_p \cdot dm \\ &\quad \cdot dl \cdot dp \cdot de \end{aligned} \tag{4}$$

$$\begin{aligned} \lambda(S_a > x, \text{nopulse}) &= \lambda \cdot \int_m \int_l \int_p \int_e P(\text{nopulse}|l, p, e) \\ &\quad \cdot P(S_a > x|m, l, p, e, \text{nopulse}) \cdot f_{(P, E|M, L, \cdot)}(p, e|l) \\ &\quad \cdot f_{(L|M)}(l|m) \cdot f_M(m) \cdot dm \cdot dl \cdot dp \cdot de \end{aligned} \tag{d5}$$

در معادلات مذکور از پارامترهای جدیدی نسبت به تحلیل خطر عادی استفاده شده است، که به آن، شرح هستند:<sup>[۴][۳]</sup>

- $P(\text{pulse}|l, p, e)$  احتمال وقوع پالس است. این پارامتر، تابعی از پارامترهای هندسی بین ساختگاه تا گسل و مستقل از بزرگا و دوره‌ی تناوب پالس است.
  - $P(S_a > x|t_p, m, l, p, e, \text{pulse})$  نرخ فراگذشت  $S_a$ ، از سطح تعیین شده به شرط وقوع پالس برای یک زلزله‌ی رخداده با بزرگای  $m$  و  $r$  است.
  - $f_{(T_p|M, L, P, E)}(t_p|m)$  تابع چگالی احتمال دوره‌ی تناوب پالس است، که فقط وابسته به بزرگای زلزله است.
  - $f_{(P, E|M, L)}(p, e|l)$  تابع چگالی احتمال توازن طول محل گسیختگی و کانون سطحی زلزله است، که فقط تابعی از طول گسیختگی است. در این مطالعه، از رابطه‌ی ولز - کاپرامیت<sup>[4]</sup> استفاده و توزیع کانون سطحی زلزله بر روی گسل به صورت یکنواخت فرض شده است.
  - $f_{(L|M)}(l|m)$  تابع توزیع طول گسیختگی است، که فقط تابعی از بزرگاست.



شکل ۱. پارامترهای موردنیاز برای تطبیق رگرسیون منطقی.

زمین لردهایی که براساس احتمال شناسایی شده‌اند، برای مسائل کاربردی مهندسی از خود تحلیل خطر هم مهم‌تر هستند.<sup>[۴]</sup> به خصوص این مسئله می‌تواند در اصلاح آین نامه طرح لردهی سازه‌ها در نزدیکی گسل‌های فعال و همچنین انتخاب ریکورد زمین لرده در تحلیل‌های دینامیکی کاربرد داشته باشد.

## ۲. تحلیل خطر لرزه‌یی اصلاح شده

معادله‌ی ۱، رابطه‌ی عمومی تحلیل خطر لرزه‌ی احتمالاتی معمول، که توسط آن کورنل معرفی شده است، را بیان می‌کند؛ که در آن، پارامتر  $P(IM > x | m, r)$  با استفاده از مدل پیش‌بینی زمین لرزه به دست می‌آید و  $f_{R_i}(r)$  توابع چگالی احتمال بزرگاً و فاصله هستند.  $(M_i > m_{\min})$ ، نزد وقوع زمین لرزه‌های بزرگ، تراز  $\lambda$  نزد وقوع معیار شدت  $(IM)$  که معمولاً شتاب است، برای  $x > IM$  ارائه می‌دهد.<sup>[۷]</sup> همچنین،  $r$  فاصله‌ی سایت از سرچشمه و پارامتر بزرگ است.

$$\lambda(IM > x) = \sum_{i=1}^{n_{sources}} \lambda(M_i > m_{\min}) \cdot$$

$$\int_{m_{\min}}^{m_{\max}} \int_{r_{\min}}^{r_{\max}} P(IM > x | m, r) \cdot f_{M_i}(m) \cdot f_{R_i}(r) \cdot dr \cdot dm$$

(1)

با توجه به اینکه اثر جهت بذیری اساساً به هندسه‌ی منطقه‌ی بین منبع زلزله تا ساختگاه موردنظر بستگی دارد،<sup>[۸]</sup> مدل زمین‌لرزه برای درنظرگرفتن اثر پالس‌ها، باید تابعی از هندسه‌ی منطقه بین منبع زلزله تا ساختگاه، بزرگاً و فاصله باشد. بنابراین مدل اصلاحی، که حرکت پالس‌گونه‌ی زمین را در نظر می‌گیرد، می‌تواند برای محاسبه‌ی احتمال فراگذشت،  $P^*(S_a > x|m, r, z)$ ، به کار رود. که در این عبارت،  $Z$  بیان‌گر مشخصات هندسه‌ی منطقه بین منبع زلزله تا ساختگاه است.<sup>[۹]</sup> معادله‌ی ۲ به شکلی با اصلاح رابطه‌ی ۱، اثرات جهت‌بذیری را در تحلیل خطر احتمالاتی بیان می‌کند:

$$\lambda(S_a > x) = \sum_{i=1}^{\#F\,a\,u\,l\,t\,s} \lambda_i \cdot \iiint P^*(S_a > x | m, r, z) \\ \cdot f_{M_i}(m, r, z) \cdot dr \cdot dm \cdot dz \quad (\dagger)$$

که در آن،  $S_a$  شتاب طیفی، و  $z$  مشخصات هندسی منطقه بین منبع زلزله تا ساختگاه است.

با توجه به اینکه در تاریخچه زمانی، سرعت همه‌ی رکوردهای حرکت زمین در حوزه‌ی نزدیک پالس مشاهده نمی‌شود، این بحث مطرح می‌شود که همه‌ی رکوردهای زلزله در حوزه‌ی نزدیک، تقاضای لرزه‌ای غیرمعمول برای سازه ندارند.<sup>[۲]</sup> بنابراین، عبارت  $(S_a > x|m, r, z)$ ، در رابطه‌ی تحلیل خطر احتمالاتی، که در معادله‌ی ۲ به آن اشاره شده است، در عمل باید به دو بخش پالس دار و بدون پالس تقسیک شود (اباطی، ۳-۴).<sup>[۳]</sup>

$$\lambda(S_a > x) \equiv \lambda(S_a > x, \text{no pulse}) + \lambda(S_a > x, \text{pulse}) \quad (1)$$

که در آن، پارامترهای  $\lambda(S_a > x, \text{nonpulse})$  و  $\lambda(S_a > x, \text{pulse})$  در معادلات ۴ و ۵ معرفی شده‌اند. در معادلات مذکور،  $L$  طول گسختگی،  $P$  موقعیت

که در آن‌ها،  $Af$  ضریب تشدید اثر پالس است. با توجه به بررسی‌های شاهی و بیکر،  $\ln S_a^r$  که بیانگر شتاب طیفی رکورد بعد از حذف پالس است، برابر با شتاب طیفی حاصل از روابط کاهنگی است.<sup>[۲]</sup> بنابراین، می‌توان رابطه‌ی ۱۱ را به صورت رابطه‌ی ۱۲ بازنویسی کرد، که در آن،  $\ln S_{a,gmm}$  شتاب حاصل از روابط کاهنگی است:

$$\ln S_{a,pulse} = \ln Af + \ln S_{a,gmm} \quad (12)$$

میانگین بیان شده برای ضریب تشدید  $Af$ ، به صورت رابطه‌ی ۱۳ است:

$$\mu_{\ln Df} = \begin{cases} ۱/۱۳۱ \cdot \exp(-۳/۱۱(\ln(\frac{T}{T_P}) \\ + ۰,۱۲۷)^۲) + ۰,۰۵۸ & \text{if } T \leq ۰,۸۸ \\ ۰,۸۹۶ \cdot \exp(-۲/۱۱(\ln(\frac{T}{T_P}) \\ + ۰,۱۲۷)^۲) + ۰,۲۵۵ & \text{if } T > ۰,۸۸ \end{cases} \quad (13)$$

با توجه به اینکه مدل اصلاحی زمین‌لرزه‌ی ارائه شده فقط برای زمین‌لرزه‌های پالس دار است، این انتظار وجود دارد که انحراف معیار استاندارد در داخل این زیرمجموعه کمتر از میزان انحراف معیار کل بانک اطلاعاتی زمین‌لرزه‌ها، که هر دو زمین‌لرزه‌ی پالس دار و بدون پالس را شامل می‌شود، باشد که در رابطه‌ی ۱۴ بیان شده است:<sup>[۲]</sup>

$$\sigma_{\ln S_{a,pulse}} = Rf \cdot \sigma_{\ln S_{a,gmm}} \quad (14)$$

که در آن،  $Rf$  ضریب کاهش است که طبق رابطه‌ی ۱۵ بیان می‌شود:

$$Rf = \begin{cases} ۱ - ۰,۲ \cdot \exp(-۰,۹۶ \\ \cdot (\ln(\frac{T}{T_P}) + ۰,۱۵۶)^۲) & \text{if } T \leq ۰,۲۱ \\ ۱ - ۰,۲۱ \cdot \exp(-۰,۲۴ \\ \cdot (\ln(\frac{T}{T_P}) + ۰,۱۵۶)^۲) & \text{if } T > ۰,۲۱ \end{cases} \quad (15)$$

### ۳.۲. تقلیل شتاب طیفی به علت عدم وقوع پالس

برای اصلاح شتاب حاصل از رابطه‌ی کاهنگی برای حالتی که پالس رخ نمی‌دهد، همانند بخش قبلی عمل می‌شود (رابطه‌ی ۱۶):<sup>[۲]</sup>

$$\ln S_{a,no pulse} = \ln(\frac{S_{a,Nopulse}}{S_{a,gmm}} \cdot S_{a,gmm}) = \ln(Df \cdot S_{a,gmm}) \\ = \ln Df + \ln S_{a,gmm} \quad (16)$$

که در آن،  $Df$  ضریب کاهش،  $S_a$  میانگین ضریب کاهش متوسط، برای حالتی که در آن،  $T > ۱ \text{ sec}$  است، به صورت رابطه‌ی ۱۷ مدل شده است:

$$\mu_{\ln Df} = \begin{cases} \max[-۰,۰۹۰, ۰,۹۰۵ \cdot g_m \cdot g_R \cdot (\ln T, \ln ۲)] & SS \\ -۰,۰۲۹ \cdot \ln T \cdot g_m \cdot g_R & Nss \end{cases} \quad (17)$$

که در آن،  $r_{jb}$  فاصله‌ی جوینر-بور<sup>۲</sup>، کمترین فاصله‌ی تصوری‌گسل روی سطح است، و همچنین  $g_M$  و  $g_R$  مطابق روابط ۱۸ و ۱۹ محاسبه می‌شوند:<sup>[۲]</sup>

$$g_M = \begin{cases} ۰ & \text{if } M < ۶ \\ \frac{M-۶}{۰,۵} & \text{if } ۶ \leq M < ۶,۵ \\ ۱ & \text{if } M > ۶,۵ \end{cases} \quad (18)$$

$$g_R = \begin{cases} ۱۰ - r_{jb} & \text{if } r_{jb} \leq ۱۰ \text{ km} \\ ۰ & \text{if } r_{jb} \geq ۱۰ \text{ km} \end{cases} \quad (19)$$

$P(S_a > x|m, l, p, e, nopulse)$  نزخ فراگذشت  $S_a$ ، از سطح تعیین شده به شرط عدم وقوع پالس برای یک زلزله‌ی رخداده با بزرگای  $m$  و  $r$  است.

$P(pulse|l, p, e)$  احتمال وقوع پالس است. این پارامتر، تابعی از پارامترهای هندسی بین ساختگاه تا گسل و مستقل از بزرگا و دوره‌ی تناوب پالس است.

$P(S_a > x|t_p, m, l, p, e, pulse)$  نزخ فراگذشت  $S_a$ ، از سطح تعیین شده به شرط وقوع پالس برای یک زلزله‌ی رخداده با بزرگای  $m$  و  $r$  است.

$f_{(P,E|M,L),(p,e|l)}$  تابع چگالی احتمال تأم محل گسیختگی و کانون سطحی زلزله است، که تابعی از طول گسیختگی است. در این مطالعه از رابطه‌ی ولز-کاپرسیمیت،<sup>[۴]</sup> برای محاسبه‌ی طول گسیختگی استفاده و توزیع کانون سطحی زلزله بر روی گسل به صورت یکداشت فرض شده است.

$f_{(L|M)}(l|m)$  تابع توزیع طول گسیختگی است، که فقط تابعی از بزرگاست.

$P(S_a > x|m, l, p, e, nopulse)$  نزخ فراگذشت  $S_a$ ، از سطح تعیین شده به شرط عدم وقوع پالس برای یک زلزله‌ی رخداده با بزرگای  $m$  و  $r$  است.

### ۱.۲. تابع احتمال رخداد پالس

محققان، با استفاده از رکوردهای پالس‌گونه‌ی شناسایی شده، رابطه‌ی ۶ را به عنوان تابع احتمال رخداد پالس برای گسل‌های راستا لغز ارائه کردند.<sup>[۲]</sup> براساس این رابطه، دو کمیت  $r$  کمترین فاصله‌ی ساختگاه تا گسل و  $S$  طول گسل گسیخته شده بین کانون سطحی گسل و ساختگاه (شکل ۱)، بیشترین اهمیت آماری و کمترین مقدار AIC<sup>۱</sup> را دارند.

$$P(pulse|r, s) = \frac{1}{1 + e^{(۰,۶۲۴ + ۰,۱۶۷ \cdot r - ۰,۰۷۵ \cdot S)}} \quad (6)$$

این رابطه با استفاده از الگوریتم پیشنهادی بیکر<sup>[۱۰]</sup> برای شناسایی رکوردهای پالس‌گونه به دست آمده است. با استفاده از این الگوریتم، علاوه بر راستاهای مختلف نسبت به گسل، شاهی و بیکر توانسته‌اند رکوردهای پالس‌گونه را در راستاهای مختلف نسبت به  $(\alpha)$  را به دست آورند. رابطه‌ی ۷، احتمال وقوع پالس در راستای دلخواه نسبت به گسل راستا لغز و رابطه‌ی ۸، احتمال کلی وقوع پالس را بیان می‌کنند:<sup>[۲]</sup>

$$P(pulse at \alpha|pulse) = \min[۰,۶۷, ۰,۶۷ - ۰,۰۰۴۱ (۷۷,۵ - \alpha)] \quad (7)$$

$$P(pulse at \alpha) = P(pulse at \alpha|pulse) P(pulse) \quad (8)$$

### ۲.۲. تشدید شتاب طیفی به علت وقوع پالس

برآش به دست آمده از شتاب رکوردهای پالس دار و بدون پالس نشان می‌دهد که مدل‌های رایج زمین‌لرزه، که از آن‌ها در تخمین زلزله‌های حوزه‌ی نزدیک استفاده می‌شود، زمین‌لرزه‌های پالس دار را کمتر از حد واقعی و زمین‌لرزه‌های بدون پالس را بیشتر از حد واقعی تخمین می‌زنند. بنابراین، لازم است که مدلی برای پیش‌بینی مشخصات پالس‌گونه‌ی زمین‌لرزه به شکل جداگانه ارائه شود. روابط ۹ الی ۱۱ شتاب طیفی را به دو بخش بدون پالس و با اثر افزایشی پالس تجزیه می‌کنند:<sup>[۲]</sup>

$$\ln S_{a,pulse} = \ln(\frac{S_{a,Pulse}}{S_a^r}) \quad (9)$$

$$= \ln(Af \cdot S_a^r) \quad (10)$$

$$= \ln Af + \ln S_a^r \quad (11)$$

## ۴.۲. دوره‌ی تناوب پالس

ثابتی دارد که متمایز از شتاب، بزرگاً و... هستند و می‌تواند به سادگی در برنامه‌ی SEISRISKIII مدل شود.

مطابق شکل ۲ تطابق قابل قبولی میان نتایج به دست آمده از تحلیل خطر عادی با استفاده از برنامه‌ی تدوین شده در این مطالعه و نرم‌افزار SEISRISKIII وجود دارد.<sup>[۲]</sup>

### ۲.۳. صحبت‌سنگی تحلیل خطر احتمالاتی اصلاح شده

صحبت‌سنگی تحلیل خطر احتمالاتی اصلاح شده به دلیل محدودیت مراجع مربوط کار ساده‌بی نیست. در این ارتباط می‌توان فقط به تنها مرجع و یا تنها تحقیقات موجود استناد نمود. شاهی و بیکر<sup>[۳]</sup> برای یک گسل، با استفاده از تحلیل خطر احتمالاتی اصلاح شده، شتاب متناظر با دوره‌ی بازگشت ۲۴۷۵ ساله را برای شبکه‌ی ای از نقاط محاسبه کردند و نسبت شتاب‌های به دست آمده را به صورت منحنی‌های هم‌تراز تشید رسم کردند.

در این مطالعه، محاسبات مذکور برای یک گسل فرضی تکرار شده است و همان‌طور که در شکل ۳ مشاهده می‌شود، تطابق قابل قبولی بین این دو شکل وجود دارد که نشان‌گر درستی برنامه‌ی نوشته شده است.<sup>[۱]</sup> زیرا انحراف معیار و ضرایب

همان‌طور که در بخش‌های قبلی مشاهده شد، تشید و تقلیل رخداده بیش از هر چیز به دوره‌ی تناوب پالس بستگی دارد. شاهی و بیکر، توزیع لگ-نمای را برای این پارامتر در نظر گرفته‌اند، که به همراه انحراف معیار در روابط ۲۰ و ۲۱ ارائه شده‌اند:<sup>[۲]</sup>

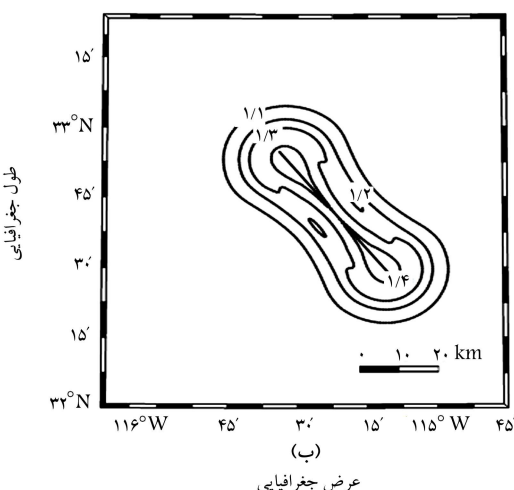
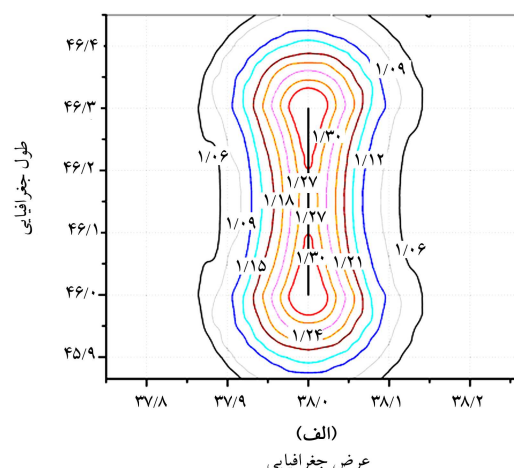
$$\mu_{ln T_p} = -5,73 + 0,99 \times M \quad (20)$$

$$\sigma_{ln T_p} = 0,56 \quad (21)$$

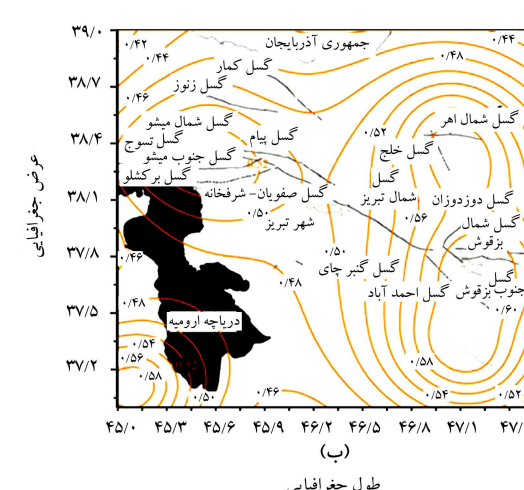
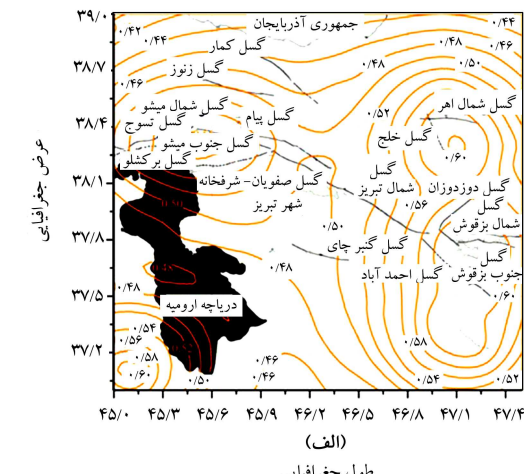
### ۳. صحبت‌سنگی مدل عددی

#### ۳.۱. صحبت‌سنگی تحلیل خطر احتمالاتی عادی

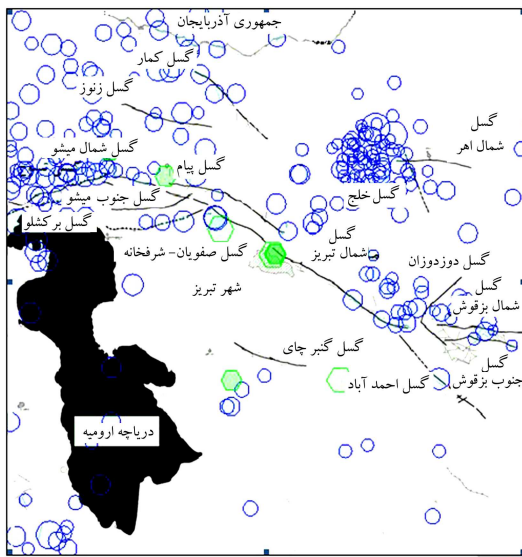
برای صحبت‌سنگی روند تحلیل خطر عادی مورد استفاده در این مطالعه، از یکی از نرم‌افزارهای مطرح در این زمینه با عنوان SEISRISK III استفاده و برای شبکه‌ی ای از نقاط مختلف، نتایج استخراج و مقایسه شده‌اند (شکل ۲). در این تحلیل از رابطه‌ی کاهنگی زارع (۲۰۰۶) استفاده شده است،<sup>[۱]</sup> زیرا انحراف معیار و ضرایب



شکل ۳. منحنی هم‌تراز تشید شتاب طیفی متناظر با دوره‌ی بازگشت ۲۴۷۵ ساله:  
الف) براساس برنامه‌ی نوشته شده و ب) نمودار شاهی و بیکر.<sup>[۲]</sup>



شکل ۲. نمودار هم‌تراز شتاب متناظر با دوره‌ی بازگشت ۴۷۵ ساله‌ی محاسبه شده توسط: الف) SEISRISKIII و ب) برنامه MATLAB.<sup>[۲]</sup>



شکل ۴. نقشه‌ی گسل‌های اطراف منطقه به همراه توزیع زلزله‌های تاریخی و دستگاهی رخداده در منطقه.<sup>[۱۶]</sup>

#### ۴. تعیین مشخصات لرزه خیزی

شهر تبریز در طول جغرافیایی  $46^{\circ}5'$  درجه و عرض جغرافیایی  $38^{\circ}1'$  درجه بر روی صفحه‌ی تکتونیکی آذربایجان قرار دارد که قسمتی از صفحه‌ی اوراسیاست. ساز و کار زلزله‌ها در ناحیه‌ی شمال و شمال غربی آذربایجان به صورت امتداد لغز راست‌گرد با مؤلفه‌ی فشاری است.<sup>[۱۲]</sup> با توجه به گزارش‌های زمین‌شناسی موجود، گسل‌های اطراف شهر تبریز شناسایی شده‌اند و اسمای آن‌ها به همراه نوع گسل‌شن، طول مؤثر و پیشینه‌ی بزرگ‌ای که می‌توانند تولید کنند، در جدول ۱ ارائه شده است. موقعیت هر یک از گسل‌ها به همراه توزیع زلزله‌های دستگاهی و تاریخی در شکل ۴ نشان داده شده است.

فهرست زمین‌لرزه‌های تاریخی رخداده در منطقه، پس از حذف پس‌لرزه به دست آمده و به همراه انحراف معیار نسبت داده شده به هر یک، برای محاسبات لرزه خیزی منطقه در برنامه‌ی کیکو ارائه شده است. با استفاده از این روش، نجخ وقوع سالیانه‌ی زلزله ( $\lambda$ ) برابر با  $8,0^{\circ}$ ، شبی خط گوتبرگ - ریشر (b) برابر با  $39^{\circ}$  و پیشینه‌ی بزرگ‌ا (M<sub>w</sub><sub>max</sub>) نیز برابر با  $7,5$  محاسبه شده است. برای محاسبات، از واحد بزرگ‌ای  $w$  استفاده شده است.

جدول ۱. گسل‌های اطراف تبریز به همراه طول مؤثر و بزرگ‌ترین بزرگ‌ای مرتب‌به‌هر یک.

بزرگ‌ای پیشینه (M <sub>s</sub> )		نوع	طول گسل	طول گسل	طول مؤثر	گسل
آمیرسیز و ملوویل**	نوروزی و اشمعی**					
۷,۳	۷,۲	۷,۳	۷۵	۱۵۰	راستا لغز	شمال تبریز
۶,۷	۶,۹	۶,۸	۳۰	۴۵	معکوس	صوفیان - شرفخانه
۶,۶	۶,۷	۶,۷	۲۵	۳۳	راستا لغز	گنبدچای
۶,۸	۶,۹	۶,۹	۳۵	۵۰	راستا لغز	احمد آباد
۶,۷	۶,۸	۶,۸	۳۰	۴۰	راستا لغز	شمال و جنوب میشو
۶,۹	۷,۰	۷,۰	۴۰	۶۰	معکوس	تسوچ
۶,۵	۶,۸	۶,۶	۲۰	۳۰	معکوس	برکشانو
۶,۸	۶,۹	۶,۹	۳۵	۵۵	معکوس	بزقوش شمال
۶,۹	۷,۰	۷,۰	۴۰	۶۰	معکوس	بزقوش جنوبی
۶,۵	۶,۷	۶,۶	۲۰	۲۸	راستا لغز	کمار
۶,۷	۶,۸	۶,۸	۳۰	۴۰	راستا لغز	زنوز
۶,۹	۷,۰	۷,۰	۴۰	۶۵	راستا لغز	پیام
۶,۵	۶,۷	۶,۶	۲۰	۲۶	راستا لغز	خلیج
۶,۵	۶,۷	۶,۶	۲۰	۳۰	راستا لغز	دوzdoran

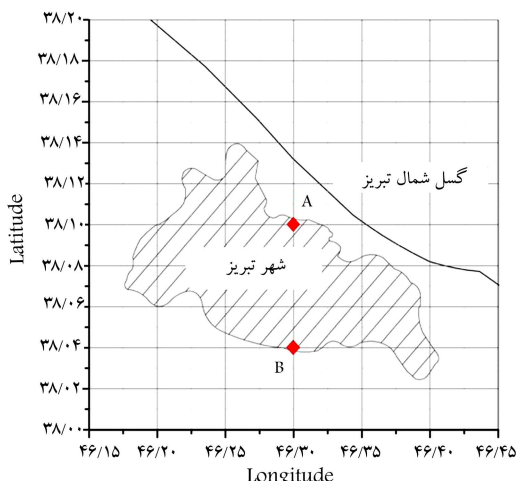
$$* M_S = 1,259 + 1,244 \log L \quad (L \text{ is in meters})$$

$$** M_S = 5,4 + \log L$$

$$*** M_S = 4,842 + 1,432 \log (3 + 0,75L)$$

جدول ۲. زمین‌لرزه‌های تاریخی منطقه به همراه انحراف معیار هر یک.<sup>[۱۲]</sup>

تاریخ	انحراف معیار	<i>M</i>	<i>MS</i>
۰,۵	۶,۳	۶,۰	۸۵۸/۱/۱
۰,۵	۷,۲	۷,۳	۱۰۴۲/۱۱/۴
۰,۴	۶,۸	۶,۷	۱۳۰۴/۱۱/۷
۰,۴	۶,۹	۶,۸	۱۶۴۱/۲/۵
۰,۳	۶,۳	۵,۹	۱۷۱۷/۳/۱۷
۰,۳	۷,۲	۷,۳	۱۷۲۱/۴/۲۶
۰,۳	۷,۳	۷,۴	۱۷۸۰/۱/۸
۰,۳	۶,۶	۶,۳	۱۷۸۶/۱۰/۰
۰,۲	۶,۵	۶,۲	۱۹۰۵/۱/۹

شکل ۵. شهر تبریز و گسل شمال تبریز به همراه نقاط *A* و *B*.

است، برای  $T/T_p = 1$  و در نواحی اطراف آن ایجاد می‌شود. کمینه‌ی ضربی کاهش انحراف معیار نیز برای  $T/T_p = ۰,۲۱$  به دست می‌آید و مقدار آن برابر با  $۰,۸۰$  است. با توجه به این دو نمودار مشخص می‌شود که با دوری  $T/T_p$  از مقادیر فوق، میزان ضربی تشدید شتاب و کاهش انحراف معیار به ۱ نزدیک می‌شوند.

برای دوره‌ی تناوب طیف برابر با صفر، نسبت  $T/T_p$  برابر با صفر می‌شود. طبق روابط ۱۴ و ۱۵ ضربی تشدید و ضربی کاهش انحراف معیار به ترتیب به مقدار  $۱,۰$  و  $۰,۵$  می‌رسد. درواقع شتاب طیفی به دست آمده  $۰,۵\%$  افزایش می‌یابد و انحراف معیار رابطه‌ی کاهنده‌ی غیربرای نسبت به تحلیل خطر عادی نمی‌کند. همچنین، با توجه به رابطه‌های ۷ و ۸، بیشینه‌ی میزان احتمال رخداد پالس نیز به  $۰,۶۷$  می‌رسد (در اینه آلترین شرایط). این احتمال در نیز فراگذشت به شرط وقوع پالس ضرب می‌شود. از طرف دیگر، طبق پیشنهاد شاهی و ییکر، برای دوره‌ی تناوب کمتر از ۱ ثانیه تقلیل شتابی صورت نمی‌گیرد و برای حالت عدم رخداد پالس، نیز فراگذشت محاسبه شده برابر با تحلیل خطر عادی فرض می‌شود. نیز فراگذشت نهایی، ترکیب دو حالت رخداد و عدم رخداد پالس است. پس می‌توان نتیجه گرفت که برای دوره‌ی تناوبی صفر ثانیه، به علت پایین بودن میزان تشدید و همچنین تعدیل صورت گرفته به بواسطه‌ی عدم رخداد پالس، شتاب برای دو حالت عادی و حوزه‌ی نزدیک تقریباً به یک میزان باید باشد.

## ۲.۵. نقشه‌ی هم‌تازش شتاب و تشدید

شکل ۸، نقشه‌ی هم‌تازش شتاب بیشینه‌ی زمین (PGA) را برای محدوده‌ی شهر تبریز در ۲ دوره‌ی بازگشت ۴۷۵ و ۲۴۷۵ ساله برای دو حالت تحلیل خطر لرزه‌ی عادی و اصلاح محاسبه در شکل‌های ۶ و ۷ نشان داده شده است. همان‌طور که در شکل‌های مذکور مشاهده می‌شود، تشدید طیف پاسخ به عملت وقوع پالس، از حدود دوره‌ی تناوب  $۰,۶$  ثانیه آغاز و با افزایش دوره‌ی تناوب طیف میزان این تشدید نیز بیشتر می‌شود. برای هر دو نقطه‌ی *A* و *B*، در دوره‌ی بازگشت ۴۷۵ ساله بیشترین میزان تشدید به ترتیب برابر با  $۱,۴۰$  و  $۱,۲۵$  و در دوره‌ی بازگشت ۲۴۷۵ ساله نیز به ترتیب برابر با  $۱,۱۸$  و  $۱,۱۴$  است، که در دوره‌ی تناوب طیف  $۰,۶۰$  رخ می‌دهد. همچنین با توجه به دو نمودار مذکور مشخص می‌شود که با دوری ساختگاه از گسل شمال تبریز، تأثیر پالس و همچنین میزان تشدید کاهش پیدا می‌کند.

در جدول ۲، فهرست زمین‌لرزه‌های تاریخی رخداده در منطقه پس از حذف پس لرزه به همراه انحراف معیار نسبت داده شده به هر یک برای محاسبات لرزه‌خیزی منطقه در برنامه‌ی کیکو<sup>۳</sup> ارائه شده است. در تهیه‌ی این جدول سعی شده است زمین‌لرزه‌هایی که دقیق و صحیح کافی در مکان و زمان وقوع دارند، انتخاب شوند.

## ۵. نتایج تحلیل خطر لرزه‌یی احتمالاتی

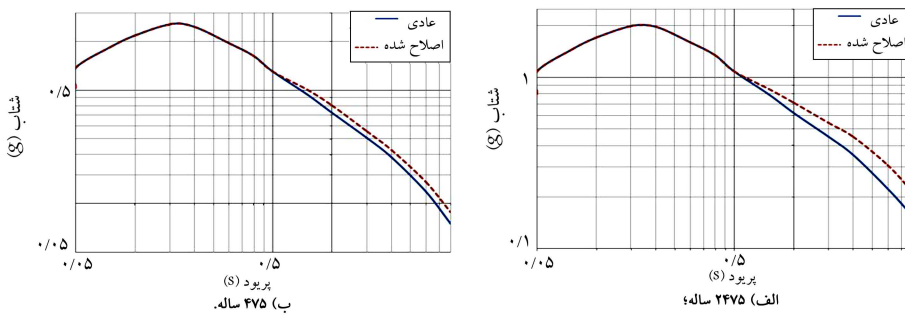
تحلیل خطر لرزه‌یی احتمالاتی برای دو حالت عادی و اصلاح شده در محدوده‌ی شهر تبریز بین طول جغرافیایی  $۴۶,۱۵$  و  $۴۶,۴۵$  و همچنین بین عرض جغرافیایی  $۳۸,۰۰$  و  $۳۸,۲۰$  درجه انجام شده است. برای تعیین شتاب از هر دو روش از دو رابطه‌ی کاهنده‌ی بور - آتکینسون<sup>[۱۳]</sup> و کمپبل - بزرگ‌نیا<sup>[۱۴]</sup> استفاده شده است. براساس نتایج شجاع طاهری و همکاران<sup>[۱۵]</sup> روابط فوق سازگاری خوبی با لرزه‌خیزی ایران دارند و می‌توان از آنها در تحلیل خطر لرزه‌یی ایران استفاده کرد. محاسبات برای سنگ بستر انجام و در رابطه‌ی بور - آتکینسون از سرعت موج برشی  $V = ۱۰۰۰ \text{ m/s}$  و در رابطه‌ی کمپبل - بزرگ‌نیا از پارامترهای مرتبط با سنگ سخت استفاده شده است.

در بخش‌های بعد، نتایج میانگین به دست آمده از هر دو رابطه‌ی کاهنده‌ی ارائه و محاسبات برای دو نقطه‌ی *A* به مختصات  $(۴۶,۳۰)$  و  $(۳۸,۱۰)$  در شمال شهر (نزدیکی گسل) و *B* به مختصات  $(۴۶,۳۰)$  و  $(۳۸,۰۴)$  در جنوب انجام شده است (شکل ۵).

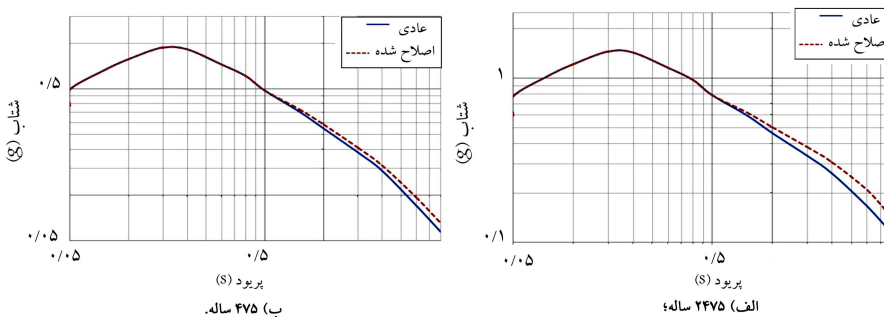
## ۱.۵. طیف خطر یکنواخت

طیف خطر یکنواخت برای دو دوره‌ی بازگشت ۴۷۵ و ۲۴۷۵ ساله برای دو حالت تحلیل خطر لرزه‌یی عادی و اصلاح محاسبه در شکل‌های ۶ و ۷ نشان داده شده است. همان‌طور که در شکل‌های مذکور مشاهده می‌شود، تشدید طیف پاسخ به عملت وقوع پالس، از حدود دوره‌ی تناوب  $۰,۶$  ثانیه آغاز و با افزایش دوره‌ی تناوب طیف میزان این تشدید نیز بیشتر می‌شود. برای هر دو نقطه‌ی *A* و *B*، در دوره‌ی بازگشت ۴۷۵ ساله بیشترین میزان تشدید به ترتیب برابر با  $۱,۴۰$  و  $۱,۲۵$  و در دوره‌ی بازگشت ۲۴۷۵ ساله نیز به ترتیب برابر با  $۱,۱۸$  و  $۱,۱۴$  است، که در دوره‌ی تناوب طیف  $۰,۶۰$  رخ می‌دهد. همچنین با توجه به دو نمودار مذکور مشخص می‌شود که با دوری ساختگاه از گسل شمال تبریز، تأثیر پالس و همچنین میزان تشدید کاهش پیدا می‌کند.

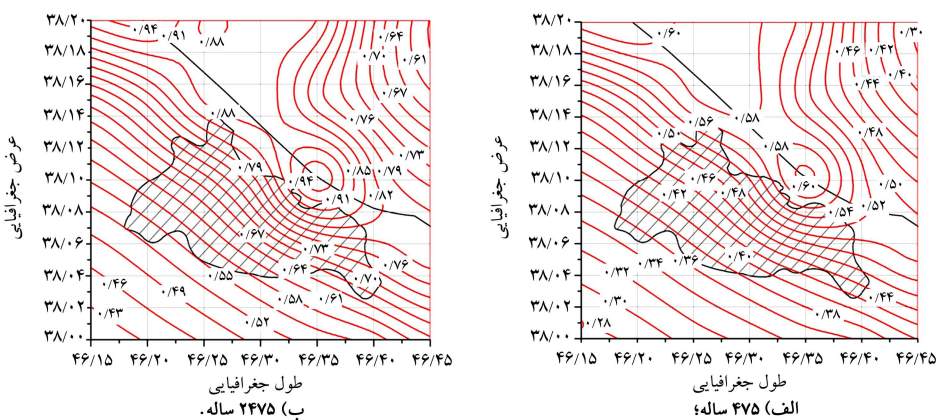
با توجه به روابط ۱۴ و ۱۵، بیشینه‌ی ضربی تشدید شتاب که برابر با  $۳/۱$



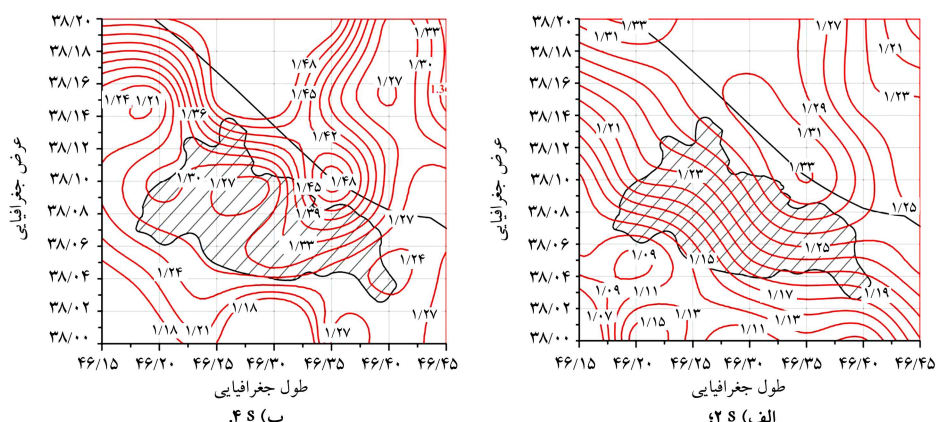
شکل ۶. طیف خطر یکنواخت به دست آمده در نقطه‌ی A از روش تحلیل خطر عادی و اصلاح شده بر حسب g برای ۲ دوره‌ی بازگشت.



شکل ۷. طیف خطر یکنواخت به دست آمده در نقطه‌ی B از روش تحلیل خطر عادی و اصلاح شده بر حسب g برای ۲ دوره‌ی بازگشت.



شکل ۸. نقشه‌ی هم‌تراز شتاب PGA شهر تبریز در ۲ دوره‌ی بازگشت.



شکل ۹. نمودار منحنی هم‌تراز تشدید رخداده در دوره‌ی تناوب طیفی در شهر تبریز.

پالس کاهاش پیدا می‌کند. در حالی که در دوره‌ی تناوب طیف ۳ ثانیه، با اعمال اثر پالس، مشارکت بزرگ‌های بزرگ‌تر افزایش می‌یابد. دلیل افزایش مشارکت بزرگ‌های کوچک‌تر در دوره‌ی تناوب ۱ ثانیه با اعمال پالس را می‌توان به ارتباط بین بزرگ و  $T_p/T$  نسبت داد. در  $T = 1 \text{ sec}$  رابطه‌های ۱۳ تا ۱۶ بیشترین میزان تشیدی میزان افزایش ضربی کاهاش انحراف معیار، نزدیک به آن به دست می‌آید. در این نسبت، میزان افزایش ضربی کاهاش دارد و از کمترین میزان خود، که در  $T_p/T$  برابر با ۰,۲۱ ایجاد می‌شود، فاصله دارد و تأثیر کاهاش آن در نزخ فراگذشت کم است. طبق رابطه‌ی ۰,۵، بزرگ‌ای برابر با ۰,۸۰ می‌تواند دوره‌ی تناوب پالس را برابر با ۱ ثانیه ایجاد کند. بنابراین، بزرگ‌های نزدیک به ۰,۵/۸۰ می‌توانند بیشترین نقش را در نزخ فراگذشت شتاب طیفی داشته باشند. میزان مشارکت بزرگ‌های بزرگ‌تر برای سطح شتاب دوره‌ی بازگشت ۴۷۵ و ۲۴۷۵ ساله زیادتر از بزرگ‌های کوچک‌تر هستند. بنابراین، به دلیل تأثیر پارامتر  $T_p$  برای حالتی که پالس در نظر گرفته شده است، میزان مشارکت بزرگ‌های بزرگ‌تر تعديل می‌شود و هرچه این بزرگ‌ای بیشتر باشد، این اثر تعديل نیز به علت فاصله‌ی بیشتر  $T_p/T$  از ۱ بیشتر می‌شود.

با مقایسه دو بخش الف و ب شکل ۱۰ می‌توان به این نتیجه رسید که با افزایش سطح شتاب، برای شتاب طیفی دوره‌ی تناوب ۱ ثانیه، تأثیر  $T_p/T$  در میزان مشارکت بزرگ‌های کوچک‌تر در تأثیر افزایش شتاب در میزان تشیدی ناشی از بزرگ‌تر غلبه می‌کند. زیرا میزان مشارکت پالس در نزخ فراگذشت، با افزایش سطح شتاب افزایش می‌یابد و بنابراین، تأثیر پارامترهای دخیل در میزان تشیدی ناشی از رخداد پالس، مانند دوره‌ی تناوب پالس، با افزایش سطح شتاب افزایش می‌یابد. برای دوره‌ی تناوب طیف ۳ ثانیه طبق رابطه‌ی ۰,۵، بزرگ‌ای که می‌تواند دوره‌ی تناوب پالس ۳ ثانیه را ایجاد کند، برابر با ۰,۶/۹ است. پس انتظار می‌رود که با اعمال پالس، اثر بزرگ‌های نزدیک ۰,۶/۹ بیشتر شود. با این حال، نزدیکی این بزرگ‌ای به بزرگ‌های بزرگ مانند ۰,۷/۴، برخلاف حالت شتاب طیفی دوره‌ی تناوب ۱ ثانیه باعث شده است تا مشارکت بزرگ‌ای ۰,۷/۴ خیلی کاهاش یابد و مشاهده می‌شود که با اعمال پالس، مشارکت بزرگ‌های بزرگ‌تر بیشتر شود.

## ۲.۶. تجزیه‌ی خطر فاصله

برخلاف محاسبات انجام شده برای بزرگ‌ماهده شده است که تأثیر پالس در مشارکت فواصل مختلف در دوره‌ی تناوب مختلف دارای روند ثابتی است. از این رو، در این بخش برای بررسی اثر پالس فقط مشارکت فاصله در شتاب طیفی دوره‌ی تناوب ۳ ثانیه بیان می‌شود. منظور از فاصله در این محاسبات، نزدیک‌ترین فاصله‌ی ساختگاه تا گسل است ( $r_{gb}$ )، که در رابطه‌ی کاهاشی بور- آنکینسون هم به کار رفته است. شکل ۱۲، مشارکت فواصل مختلف را در شتاب طیفی متناظر با دوره‌ی تناوب ۳ ثانیه در دو حالت وقوع و عدم وقوع پالس نشان می‌دهد. همان‌گونه که مشاهده می‌شود، با اعمال اثر پالس، مشارکت فواصل کوتاه‌تر بیشتر می‌شود، که یکی از دلایل آن افزایش احتمال وقوع پالس با کاهاش فاصله است (رابطه‌ی ۰,۶).

## ۳.۶. تجزیه‌ی خطر اپسیلون (ε)

اپسیلون، بیان‌گر میزان انحراف از مقدار پیش‌بینی شده (میانه) با استفاده از رابطه‌ی کاهاشی است و درواقع، میزان تغییر پذیری مشاهده شده در شتاب را نشان می‌دهد. مقادیر مثبت، نتایج بیشتر از مقدار متوسط شتاب به دست آمده از رابطه‌ی کاهاشی و مقادیر منفی، میزان کمتر از مقدار متوسط شتاب را نشان می‌دهند.<sup>[۷]</sup> در شکل ۱۳،

در شتاب طیفی دوره‌ی تناوب ۲ ثانیه از میزان ۱/۱۳ تا ۱/۲۹ متفاوت و بیشترین میزان تشیدی رخداده بر روی گسل شمال تبریز به میزان ۱/۳۳ بوده است. همچنین، در محدوده‌ی شهر تبریز از میزان ۱/۲۴ تا ۱/۴۵ میزان تشیدی رخداده بر روی گسل شمال تبریز به میزان ۱/۴۸ بوده است. مطابق شکل‌های مذکور مشخص می‌شود که ساختمان‌های بلند و سازه‌های با دوره‌ی تناوب اصلی بزرگ‌تر در صورتی که شرایط حوزه‌ی نزدیک در طراحی آنها مدنظر قرار نگرفته باشد، بیشتر در معرض آسیب‌های ناشی از این پدیده خواهند بود و میزان این آسیب پذیری برای سازه‌های نزدیک به گسل شمال تبریز بیشتر است.

## ۶. تحلیل نتایج تجزیه‌ی خطر لرزه‌ی

با اعمال اثر پالس، پارامترهای جدیدی مانند دوره‌ی تناوب پالس وارد محاسبات می‌شود و با توجه به اهمیت این پارامتر در میزان تشیدی و تقلیل رخداده در سطح شتاب، نیاز به ارائه‌ی روابط برای تفکیک این پارامتر احساس می‌شود. همچنین با اعمال اثر پالس، شرایط جدیدی به وجود می‌آید و آن هم احتمال فراگذشت پارامتر موردنظر از سطح تعیین شده در حالتی است که پالس رخ داده یا اینکه پالس رخ نداده باشد.

احتمال اینکه شتاب طیفی ( $S_a$ ) برابر با  $x$  تحت تأثیر زمین لرزه‌ی پالس گونه به وجود آمده است را می‌توان با استفاده از قانون بیز<sup>[۸]</sup>، به صورت رابطه‌ی ۲۲ محاسبه کرد. در این رابطه، صورت و مخرج، رخ و قوع زلزله هستند که برای به دست آوردن صورت کسر، فقط باید حالت رخ داده باشد که پالس رخ داده است.<sup>[۹,۱۰]</sup>

$$P(pulse|S_a = x) = \frac{(S_a > x, pulse)}{(S_a > x)} \quad (22)$$

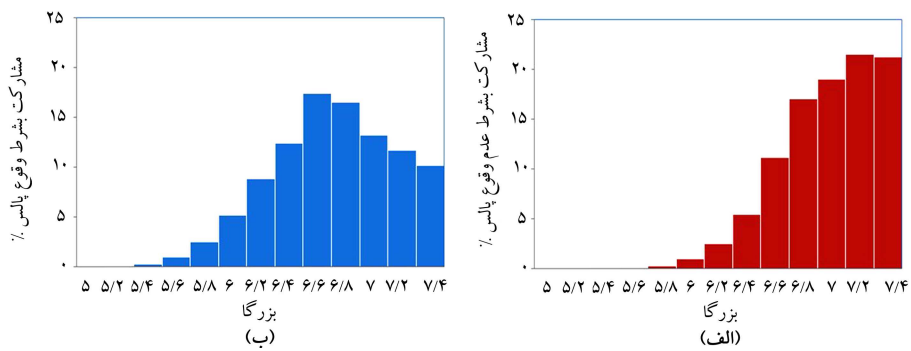
دوره‌ی تناوب پالس پارامتر بسیار مهمی در تحلیل خطر احتمالاتی اصلاح شده است و پاسخ سازه‌ی را بسیار تحت تأثیر قرار می‌دهد. با محاسبه‌ی میزان مشارکت پالس در نزخ فراگذشت برای یک سطح شتاب، می‌توان توزیع دوره‌ی تناوب پالس را محاسبه کرد. رابطه‌ی ۲۳ می‌تواند تابع چگالی احتمال مشارکت دوره‌ی تناوب پالس در شتاب  $a$  برابر با  $x$  به دست می‌دهد:<sup>[۱۱]</sup>

$$P(T_p|S_a = x, Pulse) = \frac{\lambda(T_p = t_p, S_a = x, pulse)}{\lambda(S_a = x, pulse)} \quad (23)$$

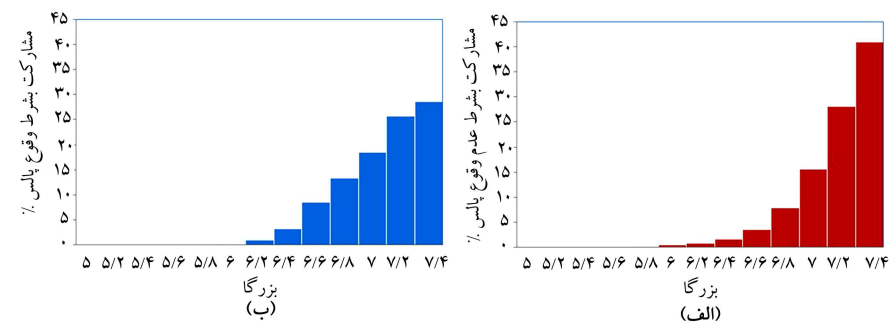
## ۱.۶. تجزیه‌ی خطر بزرگ

بزرگ‌ای زلزله یکی از مهم‌ترین عوامل مؤثر در میزان شتاب حاصل از یک زلزله در ساختگاه است. با توجه به تأثیر زیاد این پارامتر در نزخ فراگذشت شتاب طیفی، تجزیه‌ی خطر آن اهمیت زیادی به خصوص برای روش‌های تحلیل خطر لرزه‌ی حوزه‌ی نزدیک دارد.

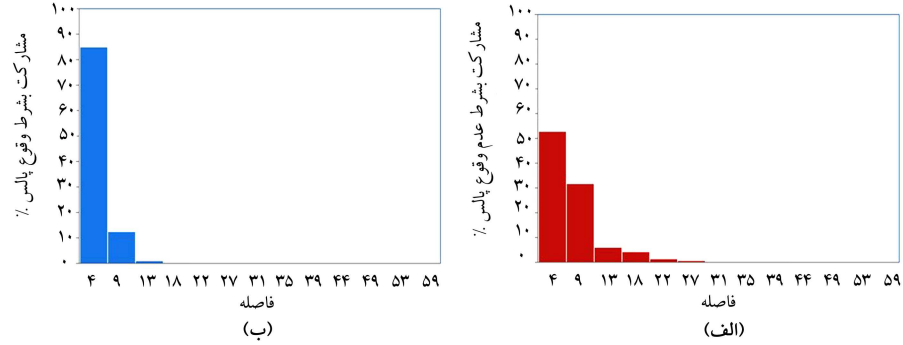
برای بررسی اثر پالس در میزان مشارکت بزرگ، در نقطه‌ی A که نزدیک به گسل شمال تبریز است، تجزیه‌ی خطر بزرگ‌ای به شرط وقوع و عدم وقوع پالس در شتاب متناظر دوره‌ی بازگشت ۴۷۵ ساله به ترتیب در ۲ دوره‌ی تناوب ۱ و ۳ ثانیه محاسبه شده و در شکل‌های ۱۰ و ۱۱ نشان داده شده است. همان‌طور که مشاهده می‌شود، با اثر پالس، روند متفاوتی در مشارکت بزرگ در دوره‌ی تناوب را نشان می‌دهد. متفاوت رخ می‌دهد. در دوره‌ی تناوب طیف ۱ ثانیه با اعمال اثر پالس، مشارکت بزرگ‌های متوسط بیشتر می‌شود و میانگین و مود بزرگ نسبت به حالت عدم وقوع



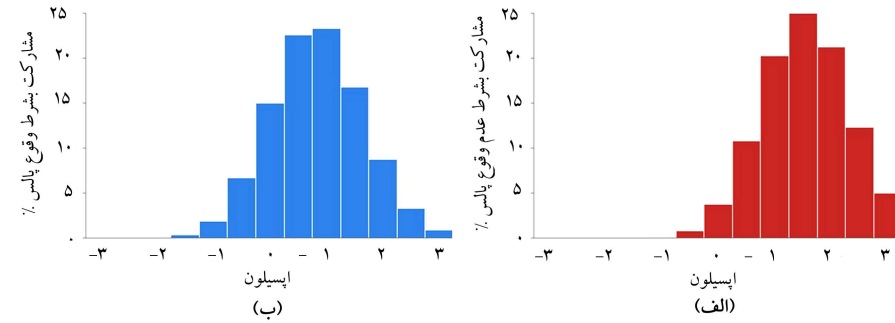
شکل ۱۰. تجزیه‌ی خطر بزرگا در موقعیت (۳۰, ۴۶ و ۱۰, ۳۸) برای شتاب دوره‌ی بازگشت ۲۴۷۵ ساله در دوره‌ی تناوب ۱ ثانیه به‌شرط: (الف) عدم وقوع پالس و (ب) وقوع پالس.



شکل ۱۱. تجزیه‌ی خطر بزرگا در موقعیت (۳۰, ۴۶ و ۱۰, ۳۸) برای شتاب دوره‌ی بازگشت ۲۴۷۵ ساله در دوره‌ی تناوب ۳ ثانیه به‌شرط: (الف) عدم وقوع پالس و (ب) وقوع پالس.



شکل ۱۲. تجزیه‌ی خطر فاصله در موقعیت (۳۰, ۴۶ و ۱۰, ۳۸) برای شتاب دوره‌ی بازگشت ۲۴۷۵ ساله در دوره‌ی تناوب ۳ ثانیه به‌شرط: (الف) عدم وقوع پالس و (ب) وقوع پالس.



شکل ۱۳. تجزیه‌ی خطر ε در موقعیت (۳۰, ۴۶ و ۱۰, ۳۸) برای شتاب دوره‌ی بازگشت ۲۴۷۵ ساله در دوره‌ی تناوب ۳ ثانیه به‌شرط: (الف) عدم وقوع پالس و (ب) وقوع پالس.

آن نیز در گسل افزایش می‌باشد. بنابراین با افزایش میزان مشارکت بزرگ‌های بزرگ‌تر، طول بیشتری از گسل‌ها گسیخته می‌شود. برای یک ساخت‌گاه با فاصله‌ی معین از گسل<sup>(۲)</sup>، با افزایش طول گسیختگی، میزان پارامتر  $\alpha$  (فاصله‌ی کانون سطحی زلزله تا نقطه‌ی که کمترین فاصله را تا ساخت‌گاه دارد) افزایش می‌باشد (شکل ۱). همچنین، طبق رابطه‌ی  $\alpha$  احتمال رخداد پالس با افزایش پارامتر  $\alpha$  افزایش می‌باشد. در نتیجه با افزایش احتمال رخداد پالس و یا کاهش احتمال عدم رخداد پالس، تشدید صورت‌گرفته به‌واسطه‌ی وقوع پالس سهم بیشتری را در نزخ فراگذشت خواهد داشت. البته برای دوره‌ی تناوب طیف ۱ ثانیه، همان‌طور که در بخش تجزیه‌ی خطر بزرگ‌ها مشاهده شد، با افزایش سطح شتاب، میزان مشارکت بزرگ‌های متوسط افزایش خواهد یافت. بنابراین در این دوره‌ی تناوب، شبیه افزایش تابع مشارکت پالس، نسبت به دوره‌ی تناوب ۳ ثانیه کمتر است.

#### ۵.۶. تجزیه‌ی خطر دوره‌ی تناوب پالس

جزیه‌ی خطر دوره‌ی تناوب پالس مربوط با جهت‌بذری در این بخش بیان شده است. طبق روابط ارائه شده، این پارامتر تأثیر زیادی در میزان تشدید رخداده در شتاب طیفی حاصل از روابط کاهندگی و همچنین میزان کاهش انحراف معیار آن دارد. در شکل ۱۵، تجزیه‌ی خطر دوره‌ی تناوب پالس در نقطه‌ی  $A$ ، در شتاب طیفی متناظر با دوره‌ی بازگشت ۲۴۷۵ ساله در ۲ دوره‌ی تناوب طیفی ۱ و ۳ ثانیه نشان داده شده است. همان‌گونه که مشاهده می‌شود، میزان مشارکت دوره‌ی تناوب پالس‌های نزدیک به دوره‌ی تناوب طیف مدنظر، در هر دو حالت بیشتر از مشارکت سایر دوره‌ی

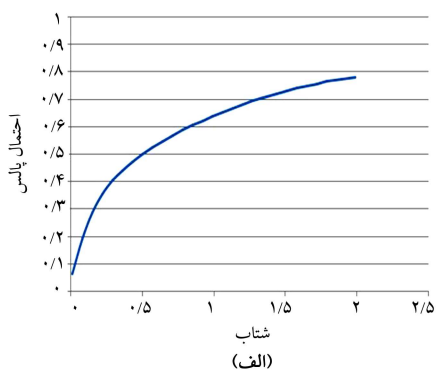
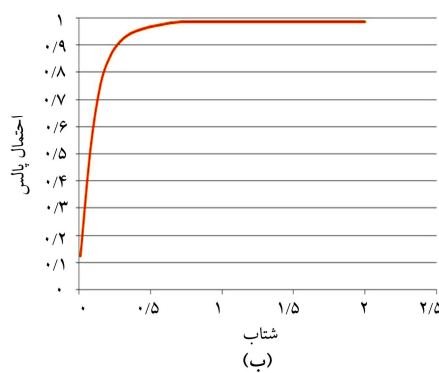
میزان مشارکت اپسیلون‌های مختلف در تحلیل خطر احتمالاتی به‌شرط وقوع و عدم وقوع پالس نشان داده شده است. همان‌گونه که مشاهده می‌شود، با اعمال اثر پالس میزان مشارکت اپسیلون‌های کوچک‌تر افزایش پیدا کرده است. علت این امر تشدید رخداده به‌واسطه‌ی وقوع پالس در شتاب طیفی حاصل از روابط کاهندگی است، که باعث می‌شود اپسیلون‌های کوچک‌تر بتوانند در سطح شتاب<sup>(۳)</sup> مشارکت بیشتری بایند.

#### ۶. تجزیه‌ی خطر احتمال وقوع پالس

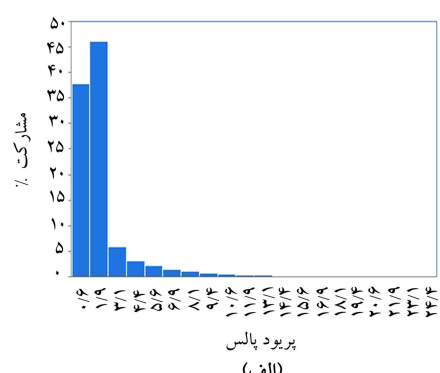
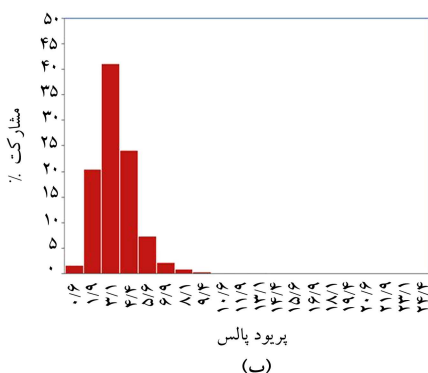
این پارامتر در واقع بیان‌گر مشارکت پالس در نزخ فراگذشت است که با استفاده از رابطه‌ی  $\alpha$  بیان می‌شود و متفاوت از تابع احتمال وقوع پالسی است که در رابطه‌های ۷ و ۸ بیان شده است. احتمال رخداد پالس، که در این روابط بیان شده است، تابعی از شرایط هندسی منطقه است.

شکل ۱۴، میزان مشارکت پالس در نزخ فراگذشت شتاب از سطوح مختلف در نظر گرفته شده را برای دو دوره‌ی تناوب طیفی ۱ و ۳ ثانیه در نقطه‌ی  $A$  نشان می‌دهد. همان‌گونه که مشاهده می‌شود، با افزایش سطح شتاب، میزان احتمال مشارکت پالس در نزخ فراگذشت بیشتر می‌شود. همچنین، شبیه خط برای دوره‌ی تناوب ۳ ثانیه بیشتر از دوره‌ی تناوب ۱ ثانیه است، که بیان‌گر احتمال تأثیر بیشتر پالس در نزخ فراگذشت شتاب در دوره‌ی تناوب طیفی ۳ ثانیه نسبت به دوره‌ی تناوب طیفی ۱ ثانیه است.

با افزایش سطح شتاب، میزان مشارکت بزرگ‌های بزرگ‌تر افزایش می‌باشد. طبق رابطه‌ی ولز-کاپرسミت<sup>(۴)</sup> هرچه بزرگ‌ای زلزله بیشتر شود، طول گسیختگی ناشی از



شکل ۱۴. میزان مشارکت پالس در موقعیت (۴۶,۳۰) و (۳۸,۱۰) برای نزخ فراگذشت شتاب در نقطه‌ی  $A$  در ۲ دوره‌ی تناوب: (الف) ۱ ثانیه و (ب) ۳ ثانیه.



شکل ۱۵. تجزیه‌ی خطر دوره‌ی تناوب پالس در موقعیت (۴۶,۳۰) و (۳۸,۱۰) برای شتاب متناظر دوره‌ی بازگشت ۲۴۷۵ ساله در ۲ دوره‌ی تناوب طیفی: (الف) ۱ ثانیه و (ب) ۳ ثانیه.

تحلیل خطر حوزه‌ی نزدیک افزایش می‌یابد. نز افزایش مشارکت پالس با افزایش سطح شتاب طیفی در دوره‌ی تناوب ۳ ثانیه بیشتر از دوره‌ی تناوب ۱ ثانیه است. به نحوی که برای شتاب طیفی دوره‌ی تناوب ۳ ثانیه، احتمال مشارکت پالس در سطح پایین شتاب به بالای ۹۰٪ می‌رسد. در حالی که برای شتاب طیفی دوره‌ی تناوب طیف ۱ ثانیه، احتمال مشارکت پالس در سطح بالای شتاب کمتر از ۷۵٪ است.

با مقایسه‌ی نتایج تجزیه‌ی خطر بزرگا مشخص شده است که اعمال اثر حوزه‌ی نزدیک برای شتاب طیفی دوره‌ی تناوب ۱ ثانیه با دوره‌ی تناوب ۳ ثانیه متفاوت است. برای دوره‌ی تناوب ۱ ثانیه، اعمال اثر پالس باعث مشارکت بیشتر بزرگاها می‌شود و کوچک می‌شود. در حالی که برای دوره‌ی تناوب طیف ۳ ثانیه، اعمال اثر پالس باعث افزایش مشارکت بزرگاها متوسط و بزرگ می‌شود و انتظار می‌رود برای دوره‌های تناوب بلند، مشارکت بزرگاها بزرگ‌تر بیشتر شود. با تجزیه‌ی خطر فاصله مشخص شده است که با اعمال اثر پالس، مشارکت فواصل کوچک‌تر بیشتر می‌شود.

تجزیه‌ی خطر پالس برای ۲ شتاب طیفی دوره‌ی تناوب ۱ و ۳ ثانیه نشان داد که میزان مشارکت به ترتیب برای دوره‌ی تناوب پالس ۱/۹ و ۳/۱ ثانیه بیشتر از سایر دوره‌ی تناوب پالس‌هاست. نتایج تجزیه‌ی خطر دوره‌ی تناوب پالس نشان می‌دهد که مشارکت دوره‌های تناوب پالس‌های برابر یا نزدیک به دوره‌ی تناوب طیفی، که تجزیه‌ی خطر برای آن انجام شده است، بیشتر از سایر دوره‌های تناوب خواهد بود. طبق نتایج به دست آمده برای مشارکت اپسیلون مشخص شده است که با اعمال اثر پالس، مشارکت اپسیلون‌های کوچک‌تر افزایش یافته است.

تناوب پالس‌هاست. این میزان نزدیکی، در شتاب طیفی دوره‌ی تناوب ۳ ثانیه بهتر مشاهده می‌شود، جایی که مد دوره‌ی تناوب پالس برابر با ۳/۱ ثانیه است، که به علت تأثیر زیاد پالس در این دوره‌ی تناوب طیفی است.

## ۷. نتیجه‌گیری

براساس نقشه‌ی همتراز شتاب تحلیل خطر عادی و حوزه‌ی نزدیک مشخص می‌شود که در عرض‌های بالای شهر تبریز میزان شتاب طیفی بیشتر از سایر نقاط این شهر است. علاوه بر این، براساس نقشه‌های همتراز تشید مشخص است که با بیشترشدن میزان دوره‌ی تناوب طیفی، میزان تشید رخداده ناشی از اعمال تحلیل خطر حوزه‌ی نزدیک بیشتر می‌شود. از این رو ساختمان‌های بلندمرتبه واقع در قسمت‌های شمالی شهر در صورتی که برای شرایط حوزه‌ی نزدیک طراحی نشده باشند، بیشتر در معرض آسیب‌های ناشی از اثر حوزه‌ی نزدیک خواهد بود. طبق نتایج به دست آمده، تشید طیف پاسخ، برای دوره‌های تناوب طیفی بیشتر از ۶۰٪ ثانیه آغاز می‌شود و میزان این تشید با بالارفتن دوره‌ی تناوب طیف افزایش می‌یابد. همچنین مشخص است که تشید رخداده برای دوره‌ی بازگشت ۲۴۷۵ ساله بیشتر از تشید رخداده برای دوره‌ی تناوب طیف دوره‌ی بازگشت ۴۷۵ ساله است. نتایج احتمال رخداد پالس (تابع مشارکت پالس)، در نقاط در نظر گرفته شده برای شتاب طیفی در ۲ دوره‌ی تناوب ۱ و ۳ ثانیه رسم شده است. طبق این نمودارها، برای نقاط در نظر گرفته شده و در هر ۲ دوره‌ی تناوب، با افزایش سطح شتاب، میزان مشارکت پالس در

## پابوشت‌ها

۱. این معیار با استفاده از رابطه‌ی  $AIC = 2k - 2\ln L$  بیان می‌شود.  $k$ : تعداد پارامترها موجود در رابطه و  $\ln L$ : لگاریتم احتمال مدل است. این رابطه دقت رابطه و مطابقت آن را سبک سنجیگ می‌کند.

2. Joyner- Boor
3. Kijko
4. Bayes' rule

## منابع (References)

1. Zare, M. "The risk of construction in neighborhood of North Tabriz Fault and seismic active faults across Iran", *Earthquake Engineering and Seismology Bulletin Report*, No. 2&3 (2001) (in Persian).
2. Tothong, P., Cornell, C.A. and Baker, J.W. "Explicit-directivity-pulse inclusion in probabilistic seismic hazard analysis", *Earthquake Spectra*, **23**(4), pp. 867- 891 (2007).
3. Shahi, K.S. and Baker, J.W. "An empirically calibrated framework for including the effects of near-fault directivity in probabilistic seismic hazard analysis", *Bulletin of the Seismological Society of America*, **101**(2), pp. 742- 755 (2011).
4. Chioccarelli, E. and Iervolino, I. "Near-source seismic hazard and design scenarios", *Earthquake Engng Struct. Dyn.*, **42**(4), pp. 603-622 (2012).
5. Cornell, C.A. "Engineering seismic risk analysis", *Bull. Seism. Soc Am.*, **58**(5), pp. 1583-1606 (1968).
6. Iervolino, I. and Cornell, C.A. "Probability of occurrence of velocity pulses in near-source ground motions", *Bulletin of the Seismological Society of America*, **98**(5), pp. 2262-2277 (2008).
7. Baker, J.W., *An Introduction to Probabilistic Seismic Hazard Analysis (PSHA)*, Version 1.3 (1st October 2008).
8. Somerville, P.G., Smith, N.F., Graves, R.W. and Abramhamson, N.A. "Modification of empirical strong ground motion attenuation relations to include the amplitude and duration effects of rupture directivity", *Seismol. Res. Lett.*, **68**(1), pp. 199-222 (1997).
9. Wells, D.L. and Coppersmith, K.J. "New empirical relationships among magnitude, rupture length, rupture width, rupture area, and surface displacement", *Bulletin of the Seismological Society of America*, **84**(4), pp. 974-1002 (1994).

- سازمان  
جهانی  
بررسی  
زمین‌لرزی‌ها
10. Baker, J.W. "Quantitative classification of near-fault ground motions using wavelet analysis", *Bulletin of the Seismological Society of America*, **97**(5), pp. 1486-1501 (2007).
  11. Zare, M. and Sabzali, S. "Spectral attenuation of strong motions in Iran", in *Proceedings, Third International Symposium on the Effects of Surface Geology on Seismic Motion*, pp. 749-758 (2006).
  12. Hessami, K., Pantosti, D., Tabassi, H. and et al. "Paleoearthquakes and slip rates of the North-Tabriz fault, NW Iran: Preliminary results", *Annals of Geophysics*, **46**(5), (2003).
  13. Boor, M.D. and Atkinson, M.G. "Ground-motion prediction equations for the average horizontal component of PGA, PGV, and 5%-damped PSA at spectral periods between 0.01s and 10.0s", *Earthquake Spectra*, **24**(1), pp. 99-138 (2008).
  14. Bozorgnia, Y. and Campbell, K.W. "The vertical-to-horizontal response spectral ratio and tentative procedures for developing simplified V/H and vertical design spectra", *Earthquake Engineering*, **8**(2), pp. 175-207 (2004).
  15. Shoja-Taheri, J., Naserieh, S. and Hadi, G. "A test of the applicability of NGA models to the strong ground-motion data in the Iranian plateau", *Earthquake Engineering*, **14**(2), pp. 278-292 (2010).
  16. <http://www.iies.ac.ir> (August 2012).